

# 淸肺散이 마우스의 免疫 및 過敏反應에 미치는 影響

심문경\* · 박은정\*\* · 정규만\*\*\*

\* 圓光大學敎 大學院 韓醫學科

\*\* 圓光大學敎 韓醫科大學

\*\*\* 慶熙大學敎 韓醫科大學

## I. 緒論

淸肺散은 宋代 劉<sup>1)</sup>의 <幼幼新書>에 처음으로 記錄된 處方으로 發散解表<sup>6), 30), 32-34)</sup>, 痰嗽止咳<sup>6), 26), 30), 32-34)</sup>, 降氣平喘<sup>6), 26), 30), 32-34)</sup>의 效能이 있어 肺氣喘息 및 咳嗽에 응용되며, 그 構成藥物은 發散解表하는 麻黃, 細辛, 柴胡, 升麻와 化痰止咳하는 貝母, 半夏, 桔梗, 杏仁, 款冬花, 馬兜鈴, 桑白皮, 百合과 清肺熱하는 地骨皮, 利水滲濕하는 白茯苓, 理氣하는 青皮 및 潤肺生津하는 麥門冬으로 이루어져 있다.<sup>6), 30), 32), 34)</sup>

<黃帝內經><sup>2)</sup>에서는 喘喝, 喘咳, 喘呼, 喘麤 등이 記錄되어 있고, 明代에 와서 哮와 喘을 區分하여 喉中如水鶴聲은 哮이고, 氣促하여 連續不能以息한 것은 喘이라고 하였으며<sup>3)</sup>, 최근 王<sup>1)</sup>은 哮喘이 西醫學의 氣管支 喘息에 該當된다고 하였다.

哮喘의 病因은 尿根<sup>7)</sup>과 六淫傷(風寒暑濕相干<sup>16), 21)</sup>, 炎暑<sup>2), 20)</sup>, 燥氣流行

<sup>2)</sup>과 七情傷(驚憂氣鬱<sup>13), 18), 20)</sup>, 喜怒不節<sup>5), 22)</sup>, 墮恐<sup>2)</sup> 및 飲食傷(過食肥膩煎燉<sup>15), 16)</sup>, 食熱毒物<sup>15), 16)</sup>, 生冷物<sup>2), 1</sup><sup>6)</sup>이다. 哮喘의 症狀은 喉中有水鶴聲<sup>1), 3), 4), 9-11), 16), 23), 25), 27), 31)</sup>, 氣急息數<sup>1), 8), 16), 20), 22-24), 27)</sup>, 氣促<sup>3), 5)</sup>, 氣粗<sup>1), 7), 2</sup><sup>2)</sup>, 擡肩<sup>3), 8), 20), 23), 24), 27)</sup>, 肩息<sup>1), 2)</sup>, 欠肚<sup>24)</sup>, 兩脇扇動 陷下作抗<sup>5)</sup>, 面青<sup>1), 9), 2</sup><sup>1)</sup> 등이며, 治療法은 發作期에 發散<sup>17)</sup>, 攻邪<sup>28)</sup>를 하고, 緩解期에 補肺固衛<sup>31)</sup>, 健脾化痰<sup>31)</sup>, 益腎攝納<sup>31)</sup> 등의 扶正氣<sup>28), 29)</sup>를 한다.

氣管支 喘息은 小兒期의 흔한 慢性疾病으로 여러 가지 刺載에 대한 氣道의 過敏性과 炎症反應 및 平滑筋의 廣範圍한 攝縮에 의하여 기침과 喘鳴, 呼吸延長, 呼吸困難 등의 特徵 症狀이 可逆的으로 일어나는 閉鎖性 疾患이며 <sup>41)</sup> 代表的인 I型 알레르기 疾患으로서 小兒에 있어서는 여러 가지 病因說中 免疫學說이 가장 有力하며 外因性 또는 알레르기性 喘息이라 불린다.<sup>38)</sup>

喘息과 關聯되는 免疫 및 過敏 反應

에 대한 實驗研究로는 崔 등<sup>43)</sup>이 加味麥門冬湯으로 PCA의 遲延型過敏反應抑制效果를, 江田 등<sup>48)</sup>이 柴朴湯으로 PCA接觸性皮膚炎과 atopy性喘息의抑制效果를 報告하였으며, 臨床研究로는 李 등<sup>44)</sup>이 免疫治療에 대한 T림프구 亞型과 增殖能의 변화를, 陳 등<sup>45)</sup>이 末梢血液 림프구의 IgE 生成能力과 IgE 受容體 表現과의 關係를, 李 등<sup>46)</sup>이 atopy性 및 非atopy性 小兒喘息에서 IgE, anti-IgE 自家抗體의 陽性率과 亞型에 관한 研究를, 李 등<sup>47)</sup>이 小兒喘息에서의 IgG亞型에 대한 調査를 報告하였다.

최근 T림프구에 속하는 協力 T細胞에도 TH1과 TH2 亞群이 있으며, TH1 協力 T細胞는 인터페론이나 인터루킨 2 및 12(IL-2와 IL-12)를 分泌하여 細胞性 免疫反應을 增加시키는 반면, IL-4, 5, 6 및 10 등을 分泌하여 IgE 形成을 促進하는 TH2 協力 T細胞의 機能을 抑制시킴이 보고되었다.<sup>61)</sup> 그러나 清肺散이 TH1 協力 T細胞의 機能과 TH2 協力 T細胞의 機能에 미치는 影響에 대한 報告를 接한 바가 없다.

이에 著者는 圓光大學校 韓醫科大學 附屬 全州 韓方病院 小兒科에서 小兒의 알레르기性喘息患者의 發作期에 많이 活用하는 清肺散을 臨床에서 活用하는 用量으로 加減한 後 마우스(mouse)에 投與하여 免疫 및 過敏反應에 미치는 影響에 대해서 여러 가지 實驗方法을 通하여 알아보았으며, 이에 有 意性 있는 結果를 얻었기에 報告하는 바이다.

## II. 實驗材料 및 方法

### 1. 材料

#### 1) 動物

8-10週 사이의 Balb/C 생쥐와 C57BL/6 생쥐(圓光大學校 韓醫科大學 實驗動物飼育室)로 cage(18×20cm)당 6個體의 密度를 維持하였으며, 2週日間室溫에서 물과 飼料(제일 사료 주식회사)를 충분히 供給하고, 낮과 밤의 週期를 12時間씩 調節하면서 스트레스를 받지 않도록 飼育한 다음 本 實驗에 使用하였다.

#### 2) 藥材

清肺散은 <幼幼新書><sup>1)</sup>에 準하였으며 本 實驗에서 使用한 藥材는 圓光大學校 韓醫科大學 全州附屬韓方病院의 精選된 藥材를 使用하였고, 그 内容과 한첩 分量은 scheme1과 같다.

#### 3) 抗原

胸腺存在性 抗原으로 使用한 綿羊赤血球(Sheep Red Blood Cell:SRBC)는 全北大學校 獸醫科大學에서 飼育하고 있는 綿羊의 頸靜脈으로부터 採血한 後 同量의 Alsever 氏液(pH 6.1)을 加하여 4℃에서 보관하면서 4週 以內에 使用하였으며 보관 중인 綿羊赤血球를 使用할 때는 使用直前에 滅菌한 PBS(Phosphate Buffered Saline, pH7.2)로 2-3回 洗滌하여  $1 \times 10^8$  cell의 濃度로 適定한 後 使用

Scheme 1. Prescription of Chungpyesan

韓 藥 名	生 藥 名	重 量(g)
半 夏 (薑汁浸一宿)	Tuber pinelliae (mixed rhizoma zingiberis juice)	6.00
馬 兜 鈴	Fructus aristolochiae	6.00
麻 黃	Herba ephedrae	6.00
杏 仁	Semen armeniacae	4.80
地 骨 皮	Cortex lycii radicis	4.80
桑 白 皮	Cortex mori	4.80
貝 母	Bulbus fritillariae	4.00
升 麻	Rhizoma cimicifugae	4.00
青 皮	Pericarpium citri nobilis viride	4.00
百 合	Bulbus lilii	4.00
款 冬 花	Flos farfarae	4.00
柴 胡	Radix bupleuri	4.00
桔 梗	Radix latycodi	4.00
白 茯 苓	Poria	4.00
麥 門 冬	Padix ophiopogonis	4.00
細 辛	Radix asari	2.80
Total amount		71.20

하였다.

## 2. 方法

### 1) 檢液의 調製

上記 清肺散을 成人 分量 71.20g/60kg(1回)을 기준으로 하여 清肺散 10g을 2000ml round flask에 넣고 蒸溜水 620ml를 加하여 100℃로 4時間 동안 重湯하여 瀉過布로 瀉過하였으며, 瀉過液을 1000rpm에서 20分間 遠心分離하여 얻은 上層液을 다시 重湯하여 100ml(1×)씩으로 濃縮하여 檢液으로 使用하였다.

### 2) 檢液의 投與

#### (1) 生體內 實驗

各各의 檢液投與群에서는 檢液을 생쥐 1마리당 CPS1群은 檢液(清肺散)(CPS) : 蒸溜水(DW) = 1:10}을, CPS2群은 檢液(CPS × 1)을, CPS3群은 檢液(CPS × 10)을 0.5ml씩 1日 1回씩 14일 동안 經口投與 하였으며, 對照群은 同量의 生理食鹽水(0.85% NaCl)를 同一方法으로 投與하였다.

#### (2) 生體外 實驗

正常 마우스(mouse)의 大食細胞를 分離한 後 CPS1群은 檢液(CPS × 1)을, CPS2群은 檢液(CPS:DW=1:10)을, CPS3群은 檢液(CPS:DW=1:100)을 分離된 大食細胞에 處理한 後 6時間 培養하였다.

#### 3) 림프구의 增殖反應 測定<sup>51)</sup>

檢液의 投與가 마우스(mouse)의 림프구 增殖에 미치는 影響을 알아보기 위하여 림프구의 增殖反應을 [<sup>3</sup>H]-thymidine이 單位 時間 内에 細胞內로 流入되는 정도로 測定하였다. C57BL/6로부터 얻은 脾臟細胞  $1 \times 10^7$  cells/ml을 RPMI 1640/10% FBS 培養液에서 mycycin C (MMC)(50 μg/ml)와 함께 37℃에서 30분간 培養한 後 細胞를 PBS로 2회 遠心 洗滌한 다음 實驗群 생쥐에서 摘出한 脾臟細胞  $1 \times 10^7$  cells/ml과 함께 混合하여 96 well plate에  $5 \times 10^5$  cells/well이 되도록 分注하였다. 37℃, 5% CO<sub>2</sub> 培養器에서 3-5일간 培養한 다음 培養이 끝날 무렵에 1 μCi [<sup>3</sup>H]-thymidine을 각 well에 넣고 4時間이 지난 다음 well로 부터 細胞를 모은 後 放射性 同位元素 測定器에 의하여 測定하였다. 細胞의 增殖率은 CP M(count per minute)으로 나타내었다.

4) T 細胞 亞型分析<sup>60, 68)</sup>

#### (1) 單核細胞 分析

檢液 投與 14日 된 生쥐의 末端에 存在하는 림프절을 떼어 낸 後 3ml의 HBSS(Ca<sup>2+</sup>,Mg<sup>2+</sup>-free)가 들어 있는 Petri-dish(diameter 30mm)에 옮겨 슬라이드 글라스로 으깨어 單液 浮遊液을 만든 다음 mesh를 통과시켜 單細胞 浮遊液을 얻었다. 單細胞의 分離는 ficoll-paque를 使用하여 400g(gravity), 10℃에서 10분 동안 遠心 分離 시켰다. 分離된 單核細胞는 PBS(pH 7.2)로 3回 洗滌하여 단크론 抗體의 結合에 使用하였다.

#### (2) T細胞 亞群과 단크론 抗體의 結合

단크론 抗體는 helper/inducer T cell을 認知하는 anti-mouse L3T4(CD4<sup>+</sup>)와 suppressor/cytotoxic T cell을 認

知하는 anti-mouse Lyt2(CD8<sup>+</sup>)를 使用하였다. 이를 단크론 抗體와 T細胞 亞群의 結合을 위해 단크론 抗體를  $1 \times 10^5$ 개의 單細胞 浮遊液 50μl에 混合한 後 4°C 暗冷 장소에서 30분간 反應시켰다. 反應後 2ml의 cold PBS로 洗滌하였다.

### (3) 流式細胞 分離 分析

anti-L3T4(綠色 螢光 物質; fluorescein isothiocyanate; FITC)와 anti-Lyt2(赤色 螢光 物質; phycoerythrin; PE)抗體를 混合하여 異染色分法(two-color analysis)을 이용하였다. 단크론 抗體에 染色된 單細胞 浮遊液에 림프구 亞型群은 488nm 세기로 發光된 argon-ion laser beam 200mw 出力에서 分析하였다.

螢光 物質의 螢光 信號는 綠色 發光이 530nm에서, 赤色 發光이 575nm의 band pass filter에서 選擇的으로 透過되어 각各 感知되었다. 單細胞 浮遊液에서 림프구 이외의 細胞는 레이저 빛의 散亂에 의하여 細胞의 情報를 提供하는 前方感知器(forward scatter detector)와 側方感知器(angle detector)로感知하여 除去하였다. 이와 같은 각各의 固有한 단크론 抗體에 結合된 FITC 및 PE가 전해 주는 情報는 BDIS(Becton Dickinson Immunocytometry System, Sunnyvale, California)의 consort 30 computer program에 의하여 全體 림프구에 대한 亞細胞群의 比率로 환산되어 계산되었다.

### 5) Rosette形成細胞 測定<sup>52-56, 59)</sup>

Rosette形成細胞 (Rosette Forming C-

ell: RFC) 測定은 Bach等의 方法에 따라서 測定하였다. 單核細胞 浮遊液은 實驗群의 BALB/C 생쥐로부터 腹腔을 切開하여 脾臟(2個體混合)을 摘出한 後 ficoll-paque을 利用하여 400g(gravity)로 遠心分離시켜 얻었다. 이렇게 얻은 單核細胞 混合浮遊液을  $3 \times 10^7$ 개의 細胞로 準備한 다음 附着細胞를 除去하기 위해서 滅菌된 注射器(2ml)에 glass wool을 體積하여 2ml의 細胞浮遊液을 添加한 後 37°C에서 30분 동안 培養하였다. 그 後 冷却된 15ml의 HBSS를 계속해서 注射器에 注入하여 通過시켰다. 이와 같이 準備된 淋巴球를  $1 \times 10^6$ 細胞로 滴定한 後에  $1 \times 10^7$ SRBC를 混合하여 37°C에서 1時間 동안 培養하였다. Rosette形成細胞의 測定은 上記와 같이 培養된 細胞浮遊液을 4°C 暗冷狀態에서 12時間 以上 保管한 後 400× 顯微鏡視野에서 淋巴球 한 개당 3개 이상의 SRBC가 附着된 것을 檢鏡하여 決定하였다.

### 6) 細胞 毒性 測定<sup>71)</sup>

本 藥物의 投與가 抗腫瘍 作用에 미치는 影響을 알아보기 위하여 癌細胞株인 K562 細胞를 培하여 [<sup>3</sup>H]-thy midine이 單位時間內에 細胞內로 流入되는 程度를 測定하였다. 사람의 lymphoma cell인 K562 細胞를 RPMI 1640, 10% FBS 培養液에서 5% CO<sub>2</sub>, 37°C 條件을 맞춰 키워 96well plate에 分注하고 여기에 定量의 HGC를 添加하여 24時間 培養한 後 1μCi [<sup>3</sup>H]-thymidine을 넣고 4時間 동안 培養하였다. 각 well로부터 細胞를 모은 後 放射性同位原素 測定器에 의하여 測定하였

다. 細胞의 增殖率은 CPM(count per minute)으로 나타내었다.

#### 7) 自然致死細胞(Natural Killer cell : NK cell)의 活性度 測定<sup>81), 82)</sup>

##### (1) 標的細胞 (Target cell)

생쥐의 自然致死細胞에 感受性이 銳敏한 YAC-1細胞를 NK cell活性度測定에 使用하였다. YAC-1細胞는 連續浮遊培養法으로 維持하였으며, 培養液은 10% fetal bovine serum과 penicillin(100 μg/ml), streptomycin(100 μg/ml) 및 gentamycin(100 μg/ml)이 添加된 RPMI 1640을 使用하였다.

##### (2) 效果細胞 (Effector cell)

藥物이 投與된 實驗群 생쥐로부터 腹部를 切開하여 spleen를 摘出한 다음 3ml의 HBSS가 들어 있는 petri-dish로 옮긴 後 slide glass로 으깨어서 細胞浮遊液을 만들었다. 細胞浮遊液을 Mesh로 거른 다음 ficoll-paque를 使用하여 400g(gravity)로 遠心分離시켜서 單核細胞層을 얻었다. 單核細胞는 HBSS로 3回洗滌하여 hemocytometer를 使用하여  $4 \times 10^6$ 개의 細胞로 滴定한 後 自然致死細胞活性度測定에 使用하였다.

##### (3) 自然致死細胞活性度分析

C'FDA의 working solution( $150 \mu g/ml$ )은 C'FDA stock solution ( $20 \mu g/ml$ /acetone)  $7.5 \mu l$ 를 1ml의 HBSS에 稀釋시켜서 15分以內에 實驗에 使用하였다. 標的細胞의 label은 C'FDA의 working solution 1ml에  $2 \times 10^6$ 개의 YAC-1細胞를 浮遊시켜서 30分間 培養시

켰다. 培養後 2ml의 HBSS로 3回洗滌한 後 自然致死細胞活性度測定에 使用하였다. C'FDA에 label된 YAC-1細胞는  $200 \mu l$  RPMI 1640 medium이 들어 있는 5mm round-bottomed poly styrene tube에 效果細胞와 함께 培養하였고 效果細胞와 標的細胞의 比率은 20:1로 하였으며, 融合을 向上시키기 위하여 200g(gravity)로 約 30초간 遠心分離시켜 37℃에서 5% CO<sub>2</sub> incubator에 培養하였다. 培養은 3時間동안 수 행하였으며, 流式細胞 分離分析器(FCM)로 測定할 때까지 4℃의 暗冷狀態에서 保管하였다. 또한 C'FDA에 label된  $2 \times 10^4$ 개의 YAC-1細胞만  $200 \mu l$  RPMI 1640 medium에서 實驗群과 同一한 時間으로 培養하였으며, 이것을 投與對照群으로 使用하였다. YAC-1細胞의 生存率은 trypan blue(Flowlabs) exclusion方法과 流式細胞 分離分析器로 測定하였으며 90%以上 이었다.

自然致死細胞에 의해 致死되는 標的細胞의 測定은 488nm 세기로 發光된 argon-ion laser beam 200mW出力에서 分析되었으며, 綠色螢光物質(fluorescein isothiocyanate)은 530nm의 band pass filter에서 選擇的으로 透過感知되었다.感知된 情報는 BDIS의 consort 30 computer program에 의하여 百分率로 計算되었다. 自然致死細胞의活性度는 다음 公式에 의해 計算되었다.

#### 8) 接觸性過敏反應의 測定<sup>54), 60), 64-68)</sup>

接觸性過敏反應(Contact Hypersensitivity : CH)의 誘發을 위하여 DNFB

$$\text{NK Cell Activity(\%)} = \frac{\text{TE}_0 - \text{TE}_3}{\text{TE}_0} \times 100$$

$\text{TE}_0$  = C'FDA로 label된 YAC-1 cell과 effector cell (1:20)을 混合하여 培養直前 (0時間)의 C'FDA로 label된 YAC-1 cell의 수

$\text{TE}_3$  = C'FDA로 label된 YAC-1 cell과 effector cell (1:20)을 混合하여 培養3時間 後의 C'FDA로 label된 YAC-1 cell의 수

(Sigma)를 抗原으로 使用하였다. acetone과 olive oil을 4:1의 比率(V/V)로 溶解한 後 1.5% DNFB 溶液  $20\mu\text{l}$ 을 藥物投與 8日된 實驗群 생쥐의 腹部皮膚에 感作하고 感作後 4日에 0.2% DNFB溶液  $5\mu\text{l}$ 을 耳輪內面에 各各塗抹하여 起起措置하였다. 肿脹增加率은 mitutoyo engineer's micrometer을 이용하여 起起直前과 起起後 24時間後에 各各測定하여  $10^{-4}\text{inch}$ 로 나타냈으며, 抑制(Deppression)의 百分率은 다음 公式에 의하여 計算하였다.

$$\% \text{ Depression} = \frac{\text{A}-\text{B}}{\text{A}-\text{C}} \times 100$$

A: Positive con.

B: Experiment con.

C: Negative con.

### 9) 大食細胞의 貪食能 分析<sup>68-77)</sup>

#### (1) 大食細胞의 誘導 및 分離

##### ① 生體內 實驗

檢液投與 14日된 實驗群 생쥐에 3ml의 滅菌된 4.5% Brewre's modified thioglycolate brath를 腹腔皮下에 注射하여 大食細胞의 增殖을 誘導하였다. 3日後 實驗群 생쥐의 上皮를 切開한 後에 腹腔에 滅菌된 HBSS( $\text{Ca}^{2+}$ ,  $\text{Mg}^{2+}$ ,

-free) 5ml를 注射하여 pasteur pipette으로 腹腔內의 大食細胞를 分離하였다. 分離된 大食細胞는 HBSS로 3回洗滌한 後 貪食能 分析에 使用하였다.

##### ② 生體外 實驗

正常 마우스(mouse)의 腹腔에 滅菌된 PBS(pH7.2)로 腹腔을洗滌하여 腹腔大食細胞가 充分한 peritoneal exudate cell(PEC)을 얻었다. CPS液을 各各의濃度로 添加하여 6時間 培養後에 細胞를 모아서 차가운 PBS로 400g(gravity)에서 10分間遠心分離하여 2回洗滌한 後 大食細胞活性度 分析에 이용하였다.

#### (2) 大食細胞의 貪食能 分析

大食細胞의 貪食能測定은 FITC로 label된 polystyrene latex particle ( $1.88\mu\text{m}$ , Polysciences, Warrington)을 使用하였다. 5% fetal bovine serum이 添加되어 있는 RPMI 1640 medium에  $1 \times 10^6$ 개의 大食細胞와  $5 \times 10^7$ 개의 fluorescent latex particle  $50\mu\text{l}$ 를 添加한 後 95%  $\text{O}_2$ 와 5%  $\text{CO}_2$  및 濕氣가 充分한 培養器에 45分間 37°C에서 培養하였다. 培養後 2ml의 cold HBSS를 添加한 後 400g(gravity)로 10分間遠心分離하여 2回 反復洗滌하였다. 綠色

螢光을 나타내는 大食細胞의 貪食能은 流式細胞 分離 分析器로 測定하였다. 488nm 세기로 發光된 argon-ion laser beam 200mW 出力에서 分析되었으며, 綠色螢光物質은 530nm의 band pass filter에서 選擇的으로 透過되어 感知되었다. 感知된 情報는 BDIS consort 30 computer program에 의하여 百分率로 計算되었다. 大食細胞의 貪食能測定은 다음 公式에 따랐다.

$$P = \frac{TE_0 - TE_{45}}{TE_0} \times 100$$

P=Phagocytic Activity(%)

TE<sub>0</sub> = FITC로 label된 latex particle( $5 \times 10^7$ )과 大食細胞( $1 \times 10^7$ )를 0時間 培養後 latex particle의 數.

TE<sub>45</sub> = FITC로 label된 latex particle( $5 \times 10^6$ )과 大食細胞( $1 \times 10^6$ )를 45分間 培養後 latex particle의 數.

10) 培養中인 大食細胞에서 反應窒素 中間物質 生成能 測定(78), 79), 82)

(Reactive Nitrogen Intermediate : RNIs)

反應窒素 中間物質 (Reactive Nitrogen Intermediate ; RNIs)은 大食細胞 특히 生쥐의 腹腔內 大食細胞에서  $\gamma$ -인 터페론 ( $\gamma$ -IFN ; Boehringer Mannheim, Germany)이나 Lipopolysaccharide (LPS ; Sigma, U.S.A.) 또는 다른 微生物의 感染에 刺激받아 L-arginine에 依存的으로 生成되며 이들이 特異的 또는 非特異的 免疫反應에 重要한役割을 하는 것으로 알려져 있다.

RNI는  $\text{NO}_2^-$ ,  $\text{NO}_3^-$ , NO 等이 있는데 이들은 細胞培養液에 蓄積되기 때문에 蓄積된 RNI를 發色시켜 ELISA reader로 測定하였다.

藥物을 投與한 생쥐의 腹腔大食細胞를 分離한 後 96 well plate에 well 당  $1-2 \times 10^5$ 개로 넣어 주었다.  $\gamma$ -IFN이나 LPS, 또는 RNI生成 淚害剤를 PBS에 녹여 각각의 濃度에 따라 培養細胞에 添加하고 48時間 동안 培養한 後에 각 well로부터  $100\mu\text{l}$ 씩의 培養液을 取하여 ELISA titer tek plate에 옮긴 後 同量의 griss reagent(1:1, v/v, N-1-naphthyle-thylenediamine 0.1% in H<sub>2</sub>O, sulfanilamide 1% in 5% H<sub>3</sub>PO<sub>4</sub>)를 添加하고 10分間 室溫에 두었다. 全體 RNI titertek multiscan MCC/340(Flow Lab)으로 540nm에서 吸光度를 測定했다. 이때 RNI濃度에 對한 標準曲線은 NaNO<sub>2</sub>를 連續稀釋하여 얻었다.

#### 11) 赤血球의 凝集素價 및 溶血素價 測定(57-59)

檢液 投與 14日째 모든 實驗群의 生쥐에  $1 \times 10^8$ cell의 SRBC를 腹腔內로 注入하여 免疫하고, 免疫後 8日에 眼球後靜脈으로부터 pasteur pipette을 이용하여 採血한 다음 凝集素價 및 溶血素價를 測定하였다.

凝集素價의 測定은 實驗群으로부터 얻은 血清을 56°C에서 30分 동안 加熱하여 補體作用을 除去한 後에 microtitration trays(Lymbro chemical co.)에 滅菌한 PBS를  $25\mu\text{l}$ 씩 連續稀釋한 後 여기에  $1 \times 10^8$ cell의 SRBC를  $50\mu\text{l}$ 씩 각각 分注시킨 後 37°C에서 24時間 培養後 凝集이 發生한 最少濃度의 값으

로決定하였다.

溶血素價의 測定은 實驗群으로부터 얻은 血清을 56°C에서 30分 동안 加熱하여 補體作用을 除去한 後에 microtit

ration trays에 5% rabbit complement (PBS : RC = 19:1)를 25 $\mu$ l씩 分注한 다음 여기에  $1 \times 10^8$ cell의 SRBC를 각각 分注하여 37°C에서 1時間동안 培養

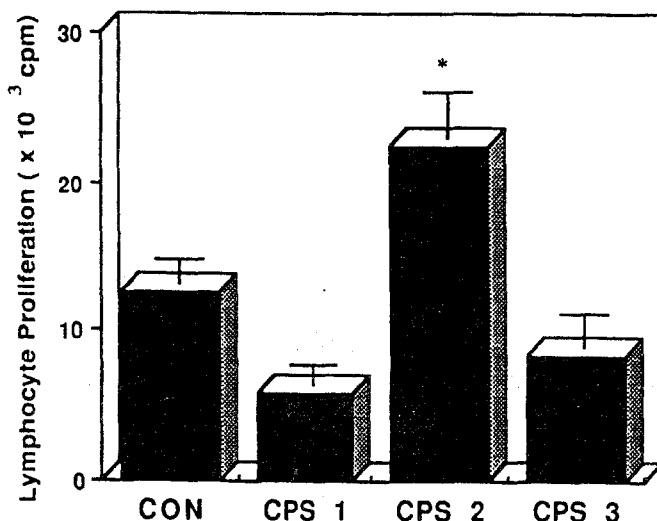


Fig. 1. Effects of CPS administration on the proliferation of mouse mixed lymphocytes reaction. Spleen cells from a BALB/C were incubated with mitomycin c (50mg/ml)-pretreated spleen cells from experimental mice cultured well labeled for 4hr with [ $^3$ H] thymidine on day 5. The above data shows means  $\pm$ S.E.\*P<0.005 compared with the control group. The components of administered drug as follows :

CON, Normal saline (0.5ml/day)

CPS1, CPS : DW = 1:10

CPS2, CPS 1×(0.5ml/day)

CPS3, CPS10×(0.5ml/day)

한後 血清이 發生한 最小 濃度의 痘 으로 決定하였다.

### III. 實驗成績

#### 1. 림프구의 增殖反應에 미치는 影響

清肺散의 投與가 마우스(mouse)의 림프구 增殖에 미치는 影響을 알아보기 위하여 림프구의 增殖反應을 [ $^3\text{H}$ ]-thymidine이 單位時間內에 細胞內로 流入되는 程度로 測定한 結果 對照群이 1

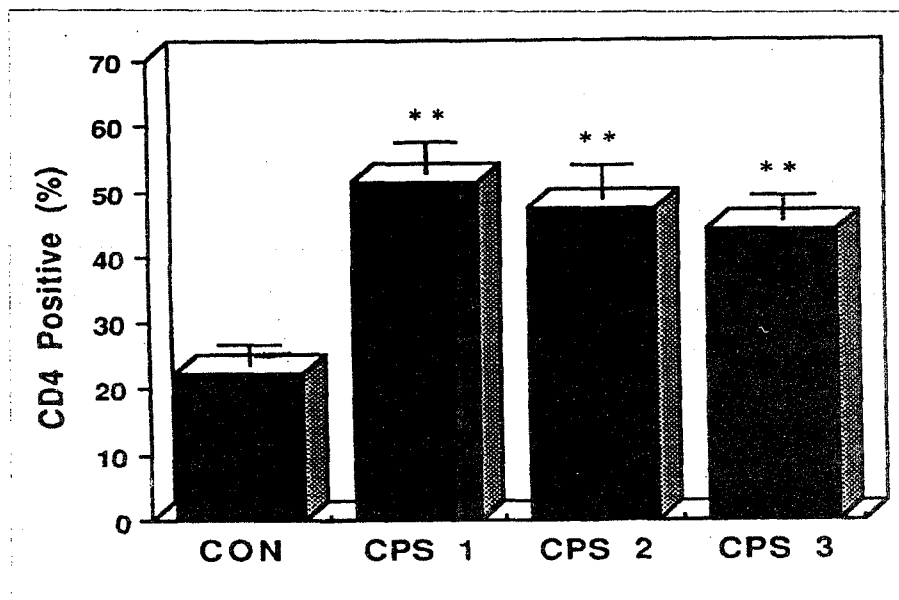


Fig. 2. Effects of antigen-challenge on sequestering of peripheral lymphocytes subset during administration of CPS. A single cell suspension prepared from peripheral lymph nodes was incubated with anti-L3T4 ( $\text{CD}^{4+}$ ) antibody and analysed FCM(Fac. flow cytometry). The components of administered drug are the same as Fig. 1. Significant increment was shown in three mouse groups.

The above data shows means  $\pm \text{S.E.}$  \*\* $P<0.005$  compared with the control group.

$2.5 \pm 0.7 \times 10^3$  cpm인데 비하여 CPS1群, CPS2群, CPS3群은 각각  $5.8 \pm 0.3 \times 10^3$  cpm,  $22.4 \pm 0.3 \times 10^3$  cpm,  $8.4 \pm 0.2 \times 10^3$  cpm으로 CPS2群에서 對照群에 비하여有意性있게 림프구의 增殖을 增加시켰다(Fig.1).

## 2. T 細胞의 亞型 變化에 미치는 影響

BALB/C 생쥐에 清肺散을 投與하여 림프절內의 T 細胞群의 亞型變化에 미치는 影響을 調査하였다. 清肺散의

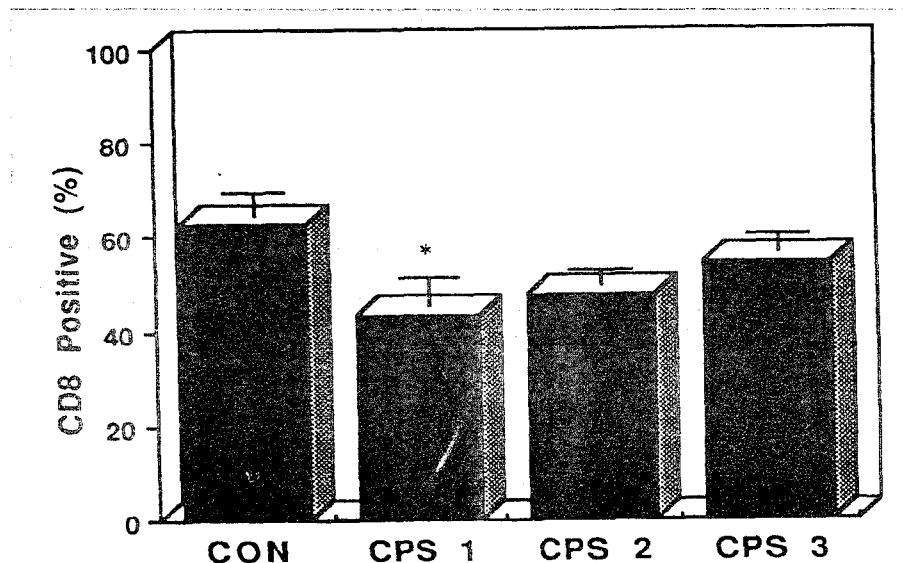


Fig. 3. Effects of antigen-challenge on sequestering of periperal lymphocytes subset during administration of CPS. A single cell suspension prepared from periperal lymph nodes was incubated with anti-Lyt2 (CD<sup>8+</sup>) antibody and analysed FCM. The components of administered drug are the same as Fig. 1. Significant inhibitions was shown in one month use group (CPS1).

The above data shows means  $\pm$ S.E. \*P<0.05 compared with the control group.

投與로 인하여 CD4 陽性細胞의 對照群이  $22.5 \pm 3$ 인데 비하여 CPS1群은  $51.4 \pm 7$ , CPS2群은  $47.2 \pm 5$ 이며 CPS3群은  $43.8 \pm 3$ 으로 全體的으로 增加하는 傾向을 보였으며, 특히 CPS1群에서 有意性 있는 增加를 보였다 (Fig.2). 반면 생쥐의 림프절에서 CD8 陽性細胞은  $62.8 \pm 6$ 인 對照群에 비하여 CPS1群

은  $43.2 \pm 5$ , CPS2群은  $47.8 \pm 5$ 이며 CPS3群은  $54.6 \pm 3$ 으로 全體的으로 낮아지는 傾向을 보였다 (Fig.3).

本 實驗의 研究結果에 의한 CD4/CD8 陽性細胞의 比率은 對照群이  $0.35/1$ 인 반면 CPS1群은  $1.18/1$ , CPS2群은  $0.98/1$ , CPS3群은  $0.80/1$ 로 對照群에 비하여 有意性 있게 增加하여 清肺散

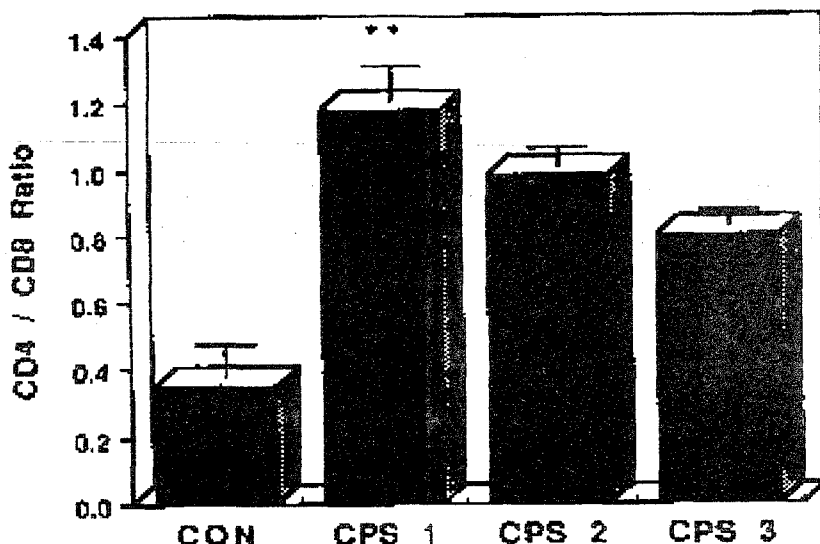


Fig. 4. Changes in anti-L3T4/ anti-Lyt2 ratio during administration of CPS. The data about CD<sup>4+</sup> and CD<sup>8+</sup> cells were obtained from previous acquired results. Significant increment was shown in one mouse group (CPS1).

The above data shows means  $\pm$ S.E. \*\*P<0.005 compared with the control group.

의 投與는 T 細胞群 중 CD4 兩性細胞의 比率을 全體的으로 增加시키는 것으로 나타났다 (Fig. 4).

### 3. Rosette 形成細胞에 미치

### 는 影響

BALB/C 생쥐에 淸肺散을 投與하여 編羊赤血球에 대한 免疫反應 細胞數에 미치는 影響을 比較하기 위해 생쥐로부터 脾臟을 摘出하여 rosette 形成細

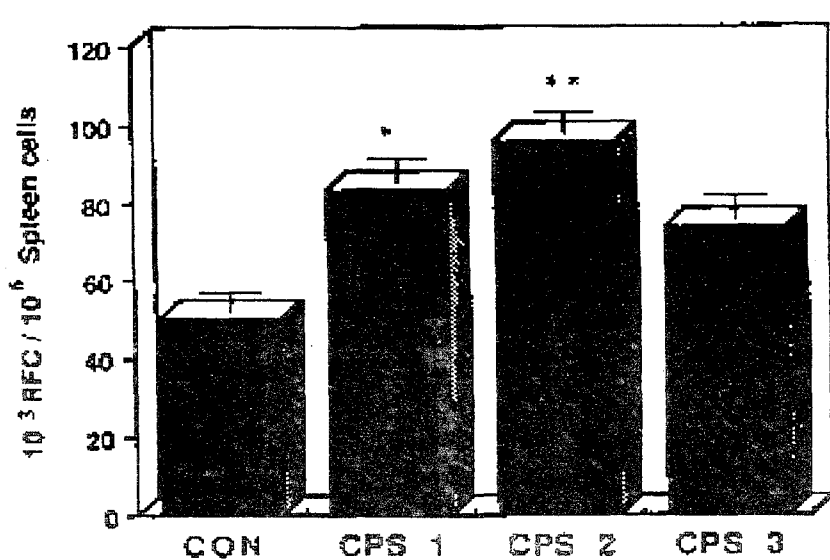


Fig. 5. Effects of CPS administrations on the appearance of rosette forming cells (RFC) in mice. Mice were immunized with SRBC, and spleen cells were assayed for RFC at 8days after immunization. Mice were orally given CPS for 14days before sensitization.

The components of administered drug are the same as in Fig. 1.

An significant increment was shown in two mouse groups (CPS1, CPS2).

The above data shows mean  $\pm$ S.E. \*P<0.05, \*\*P<0.005 compared with the control group.

胞數를 测定하였던 바,  $10^6$  脾臟細胞當  $10^3$  RFC의 數는 對照群이  $50.4 \pm 3$ 인데 비해, CPS1群은  $82.9 \pm 8$ , CPS2群은  $95.4 \pm 5$ , CPS3群은  $73.8 \pm 5$ 로 對照群에 비하여 모두 增加하는 傾向을 보였으

며, 특히 CPS2群에서 有意性 있게 增加하였고, CPS3群에서는 對照群보다는 增加하였지만 CPS2群과 비교하였을 때 약간 減少하는 傾向을 보였다(fig. 5).

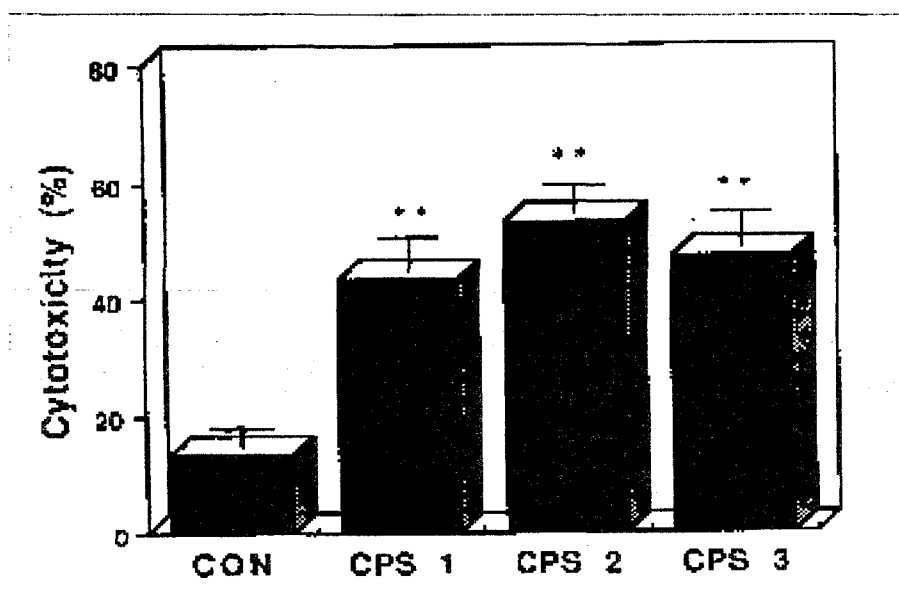


Fig. 6. Effects of CPS administrations on the cytotoxicity in human lymphoma (K562). For the analysis of cytotoxicity, the cells were incubated RPMI 1640/10% FBS and treated with various concentrations of CPS. After 1hr, the cells were labelled with  $1 \mu\text{Ci}[^3\text{H}]\text{-Thymidine}$  for 4 hr. A significant increment was shown in three mouse groups (CPS1, CPS2, CPS3).

The above data shows mean  $\pm$ S.E. \*\* $P < 0.005$  compared with the control group. The components of administered drug are the same as in Fig. 1.

#### 4. 細胞 毒性에 미치는 影響

BALB/C 생쥐에 있어서 清肺散의 投與가 抗癌作用에 미치는 影響을 알아보기 위하여 癌細胞株인 K562를 使用하여 實驗한 結果, 對照群은  $13.2 \pm 4$ 인데 비하여 CPS1群은  $43.5 \pm 4$ , CPS2群은  $53.2 \pm 4$ , CPS3群은  $47.4 \pm 4$ 로 全體的으로 增加하는 傾向을 나타냈으며,

특히 CPS2群에서 有意性을 나타내며 크게 增加하였다 (Fig.6).

#### 5. 自然致死細胞의 活性度에 미치는 影響

BALB/C 생쥐에 있어서 清肺散의 投與가 自然致死細胞의 活性에 미치는 影響을 알아보기 위하여 YAC-1 target cell을 對象으로 實驗한 結果, 對照群

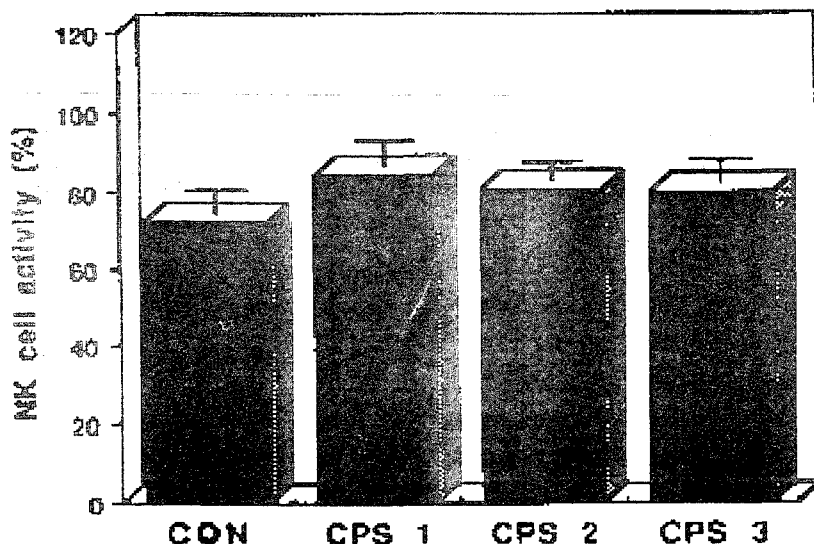


Fig. 7. Effects of CPS administration on NK cell activity. Effector cells are incubated with C'FDA labelled YAC-1 target cells at the ratio of 20:1 for 3hrs. The activity of NK cells was calculate according to the Materials and Methods. The components of administered drug are the same as in Fig. 6.

은  $72.3 \pm 6$ 인데 비하여 CPS1群은  $84.2 \pm 5$ , CPS2群은  $80.5 \pm 5$ , CPS3群은  $79.8 \pm 6$ 으로 약간의 增加를 나타냈다(Fig 7).

## 6. 接觸性過敏反應에 미치는

### 影響

BALB/C 생쥐에 있어서 清肺散의 投與가 DNFB減作에 의한 接觸性過敏反應에 미치는 影響을 알아보기 위하여, 檢液을 생쥐 한 마리당 0.5ml씩 14

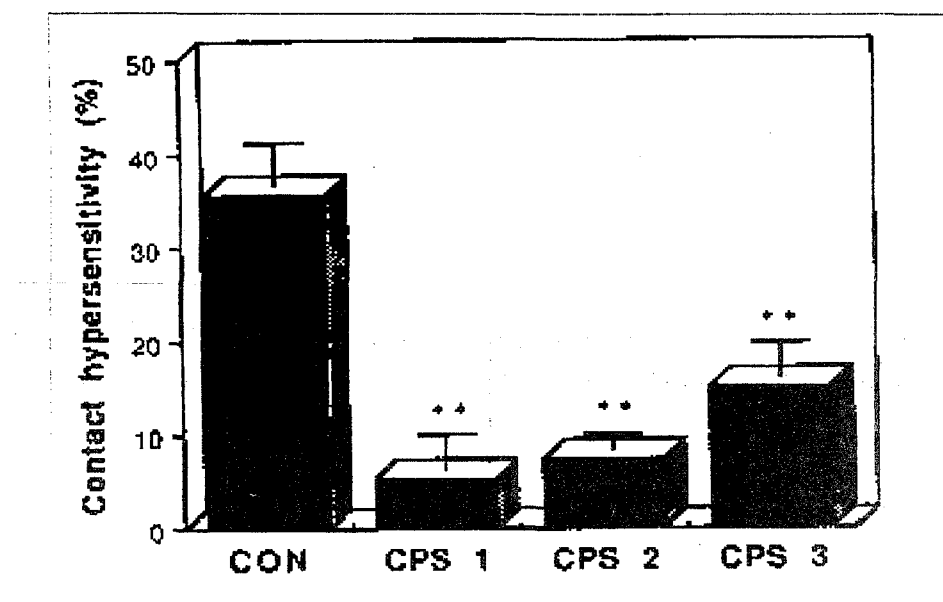


Fig. 8. Effects of CPS administrations on contact hypersensitivity responses in mice. Mice were contact-sensitized with  $20\mu\text{l}$  of 1.5% DNFB on the day 0. Mice were challenged on the day 5 after sensitization on ear, and ear swellings were measured 24 hrs late.

Significants inhibitions were shown in three mouse groups (CPS1, CPS2, CPS3).

The components of administered drug are the same as in Fig. 1. The above data shows mean  $\pm$ S.E. \*\* $P < 0.005$  compared with the control group.

日間 經口 投與한 結果, DNFB減作에  
의한 接觸性 過敏反應의 抑制率은 對  
照群이  $35.8 \pm 5$ 인데 비해 CPS1群은  $5.$   
 $3 \pm 2$ , CPS2群은  $7.2 \pm 3$ , CPS3群은  $14.$   
 $9 \pm 1$ 로써 全體的으로 減少하는 傾向이  
뚜렷하였으며, CPS1群에서 有意性있게  
減少하였다 (fig. 8).

## 7. 大食細胞의 貪食能에 미치는 影響

### (1) 生體內 實驗

清肺散의 投與가 BALB/C 생쥐의 大  
食細胞 貪食能에 미치는 影響을 살펴  
보기 위하여, 14日間 檢液을 投與한

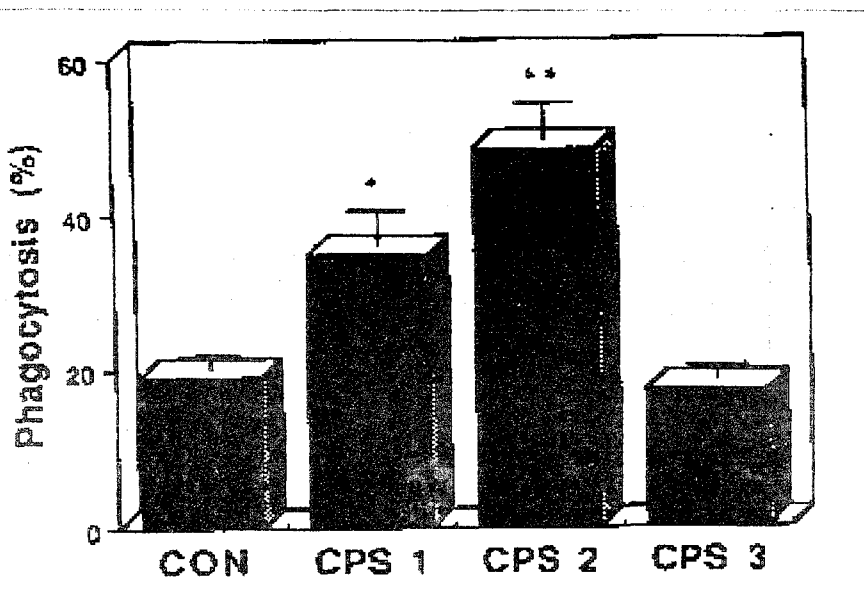


Fig. 9. In vivo effects of CPS administrations on phagocytic activity. An increment of phagocytic activity was shown in two mouse groups (CPS1, CPS2). The phagocytic activity was calculated by means of consort 30 program of FACStar. The components of administered drug are the same as in Fig. 1.

The above data shows mean  $\pm$ S.E. \* $P < 0.05$ , \*\* $P < 0.005$  compared with the control group.

實驗群 생쥐에서 大食細胞를 分離한 後 FITC로 label된 polystyrene latex particle( $1.88\mu m$ )과 같이 培養한 다음, 流式細胞 分離 分析器로 大食細胞가 1 atex particle을 貪食한 活性度를 測定 하였다. 그 結果로서 對照群은  $19.3 \pm 3$  의 活性度를 보였으며, 이에 대하여 CPS1 및 2群에서 각각  $34.9 \pm 4$ ,  $43.5 \pm 3$  으로 增加하는 傾向을 보였지만, CPS3群에서는  $17.2 \pm 2$ 로 對照群과 비교하

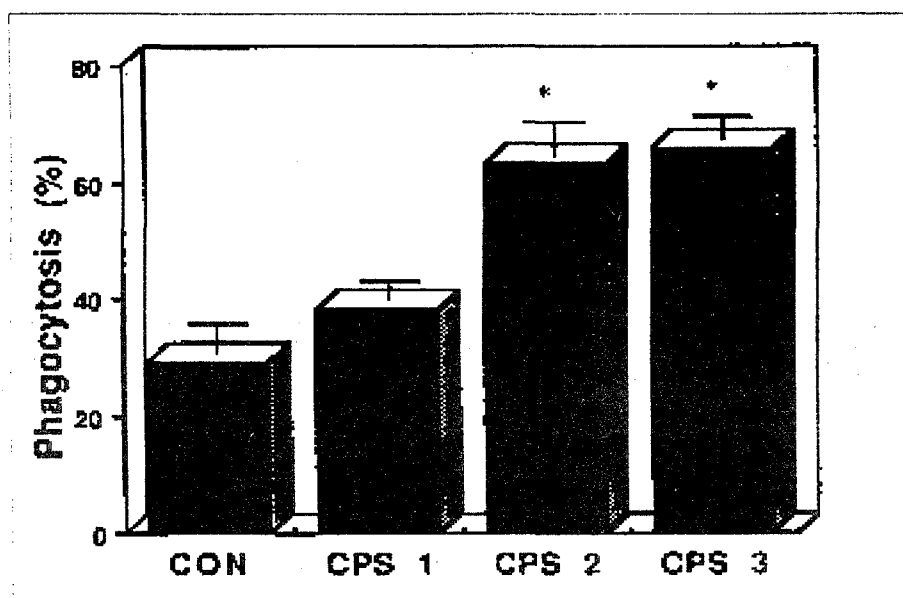


Fig. 10. In vitro effects of CPS on phagocytic activity. Thioglycolate-elicited macrophages were incubated with CPS for 6 hours. The cells were harvested, centrifuged and measured for phagocytic activity. A significant increment of phagocytic activity was shown in two mouse groups (CPS2, CPS3).

The phagocytic activity was calculated by means of consort 30 program of FACStar. The components of administered drug are the same as in Fig. 6. The above data shows mean  $\pm$ S.E. \* $P<0.05$  compared with the control group.

여 減少하는 傾向을 보였으므로 高濃度의 清肺散의 投與는 大食細胞의 貪食能에 별다른 影響을 주지 않음을 알 수 있었다 (Fig 9).

## (2) 生體外 實驗

清肺散을 生體外에서 處理했을 때 B ALB/C생쥐의 大食細胞 貪食能에 미치는 影響을 살펴보기 위하여 Thiogly-

colate(TG) injected 正常 생쥐의 腹腔大食細胞를 分離하여 清肺散을 各 濃度로 處理한 後 6時間 培養 後에 收穫한 細胞를 FITC로 label된 latex particle과 培養하여 活性度를 測定하였다. 그 結果 對照群이  $29.5 \pm 4$ 인데 비하여 CPS1群은  $38.4 \pm 5$ , CPS2群은  $63.2 \pm 6$  으로써 增加하는 傾向을 보였고, CPS3

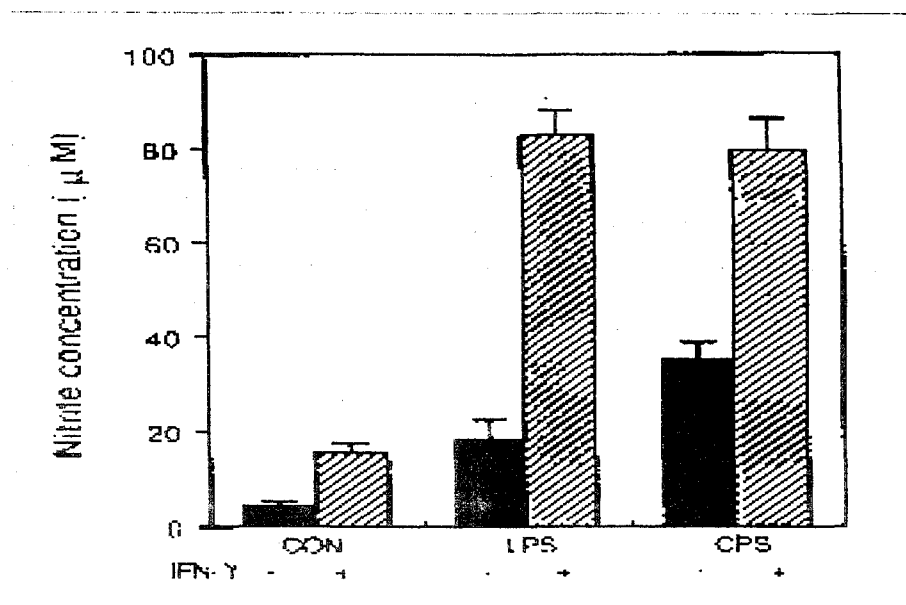


Fig. 11. TG(Thioglycolate)-elicited macrophages were cultured for 48 hours with either in medium alone or in medium containing IFN- $\gamma$  (5U/ml) and/or LPS or CPS. Dose dependent effects of CPS on the Nitrite production. The amount of  $\text{NO}_2^-$  released by macrophages were measured after 48 hours of incubation. Values are means  $\pm$  SD of four experiments.

群은  $65.9 \pm 5$ 로써 가장 높은 大食細胞의 貪食能 增大效果를 가져왔음을 시사하였다 (Fig. 10).

### 8. 貪食細胞의 反應窒素 中間物質 (Reactive Nitrogen Int

ermediates : RNIs) 生成能에 미치는 影響

清肺散이 腹腔 大食細胞의 RNI 生成에 미치는 影響을 調査해 보기 위하여 培養中인 생쥐의 腹腔 大食細胞 ( $1 \times 10^5$  cell/200 $\mu$ l)에 清肺散을 各 濃度 (1,

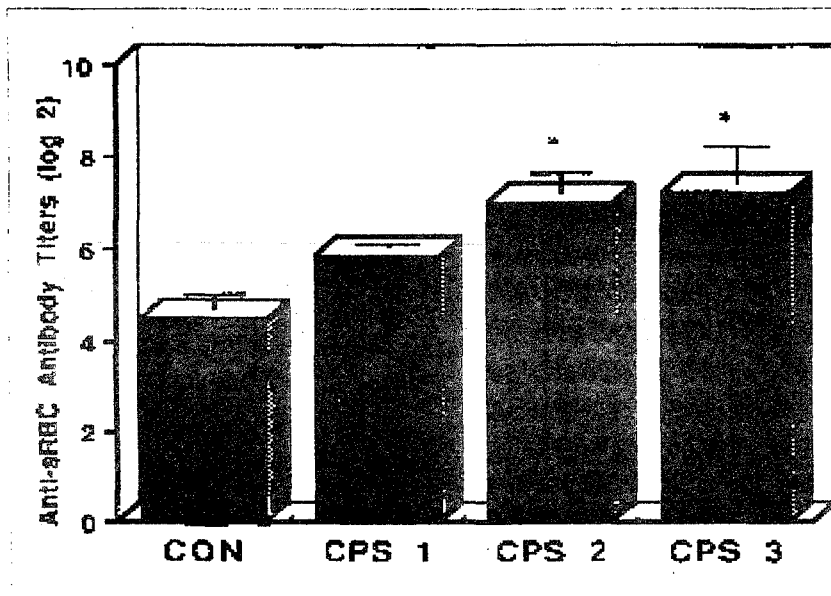


Fig. 12. Effects of CPS administrations on the hemagglutinin titers.

Mice were orally given CPS for 14days before sensitization. Mice were sensitized with SRBC on day 0, and hemagglutinin titers were measured on the day 8. The components of administered drug are the same as in Fig. 1.

A significant increment was shown in two mouse groups (CPS2, CPS 3). The above data shows mean  $\pm$  S.E. \*P<0.05 compared with the control group.

2, 3)에 따라  $10\mu\text{l}/\text{well}$ 씩 넣은後 48時間 培養한 다음 RNI의 生成程度를 测定한 結果 對照群(6<)과 비교하여 볼 때 濃度에 依存的으로 RNI 生成 程度가 增加하였다(Fig 11).

### 9. 赤血球 凝集素價 및 溶血素

#### 價에 미치는 影響

BALB/C 생쥐에 있어서 清肺散의 投與가 綿羊赤血球에 대한 抗體 生成能에 미치는 影響을 알아보기 위하여 綿羊 赤血球에 대한 凝集素價와 溶血素價를 测定하여  $\log_2$ 값으로 計算하였다.

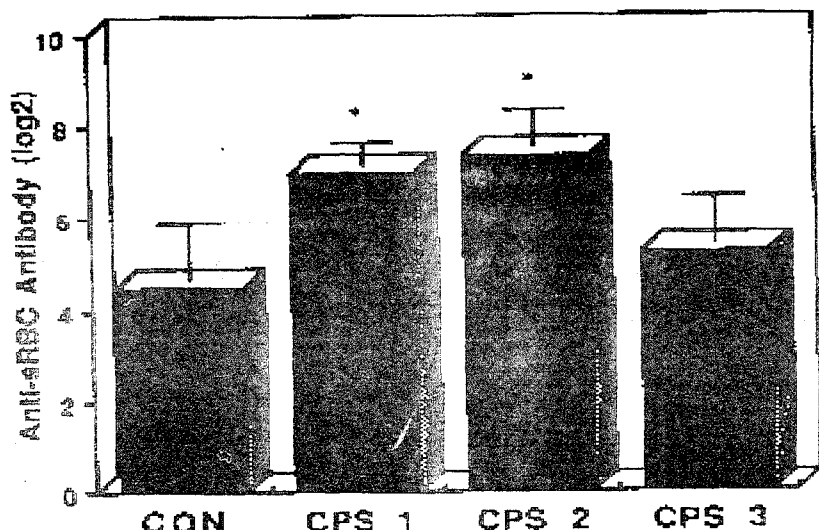


Fig. 13. Effects of CPS administrations on the hemolysin formation against SRBC. Mice were given orally CPS for 14 days before sensitization. Mice were sensitized with SRBC on the day 0 and hemolysin titers are measured on the day 8.

The components of administered drug are the same as in Fig. 1.

An increment was shown in two mouse groups.

The above data shows mean  $\pm$ S.E. \* $P<0.05$  compared with the control group.

凝聚素價는 對照群이  $4.52 \pm 0.5$ 인데 비하여 CPS1群은  $5.84 \pm 0.4$ , CPS2群은  $7.04 \pm 0.4$ , CPS3群은  $7.22 \pm 0.7$ 로써 모든群에서有意性 있게增加하였으며, 그중 특히 CPS2群과 CPS3群에서 가장 높은增加를 보임을 알 수 있었으며(Fig.12), 溶血素價는 對照群이  $4.58 \pm 1$ 인데 비하여 CPS1群은  $6.95 \pm 0.5$ , CPS2群은  $7.34 \pm 0.6$ , CPS3群은  $5.22 \pm 0.6$ 으로 1群과 2群에서有意하게增加했으며 3群에서는 다소減少하는倾向을 보였다 (Fig. 13).

#### IV. 總括 및 考察

小兒喘息에 대하여 <黃帝內經><sup>2)</sup>에서는 乳子가 風熱에 맞으면 喘鳴을 發한다고 하여 原因과 特徵症狀을 記述하였으며, 喘喝, 喘呼, 喘咳等의 異名을 言及한 以來 隨代의 巢<sup>4)</sup>는 咳嗽와 함께 呼呷有聲한다 하여 呻嗽라 하였고, 明代의 虞<sup>3)</sup>는 喘促喉間如水鶲聲은 哮라하고, 氣促而連續不能以息은 喘이라 하여 哮와 喘을 區分하였다.

喘息의 分類에 대해서 <六科準繩><sup>5)</sup>에서는 喘息의 發生을 臟腑와 關聯시켜 肺喘, 胃喘, 腎喘으로 나누고, 寒喘, 火喘, 虛喘, 實喘으로 辨證하였으며, <東醫寶鑑><sup>6)</sup>에서는 風寒喘, 痰喘, 氣喘, 火喘, 水喘, 久喘, 胃虛喘, 陰虛喘等으로 區分하였다.

喘息의 病因은 尿根<sup>7)</sup>과 風寒暑濕相干<sup>16), 21)</sup>, 風冷入肺<sup>1), 9), 10), 14), 15), 24), 31)</sup>等의 六淫傷과 驚憂氣鬱<sup>13), 18), 20)</sup>, 怒氣鬱結<sup>7), 22)</sup>, 喜怒不節<sup>5), 22)</sup>等의 七情傷 및 過食肥膩煎燂<sup>15), 16)</sup>, 味過於甘<sup>2)</sup>等의

飲食傷이며, 症狀은 喉中有水鶲聲<sup>1), 3)</sup>, 4), 9-11), 16), 23), 25), 27), 31), 氣急息數<sup>1), 8)</sup>, 16), 20), 22-24), 27), 氣促<sup>3), 5)</sup>, 氣粗<sup>1), 7)</sup>, 22), 搤肩<sup>3), 8)</sup>, 20), 23), 24), 27), 肩息<sup>1), 2)</sup>, 欠肚<sup>2)</sup>, 兩脇扇動 陷下作抗<sup>5)</sup>, 坐臥不得<sup>1), 2)</sup>, 11), 21), 27), 咽中壅欲嘔<sup>5), 13)</sup>, 面青<sup>1), 9)</sup>, 2) 等이다.

喘息의 治療는 “未發時而補正氣爲主, 已發時而攻邪爲主”<sup>22)</sup>라 하여 發作期와 緩解期로 나누어 適切한 治法을 使用해야 한다. 發作期에는 散邪<sup>17)</sup>, 攻邪<sup>8)</sup>를 하는데, 風寒咳嗽은 溫肺散寒, 脾痰平喘하고, 痰火哮喘은 清熱滌痰, 降氣平喘하며, 痰濕哮喘은 健脾化痰, 降逆平喘한다.<sup>31)</sup> 緩解期에는 扶正氣, 补養<sup>28), 29)</sup>하는데 肺虛로 因하면 補肺固衛하고, 脾虛로 因하면 健脾化痰하며, 腎虛로 因하면 扶元培本, 益腎攝納 한다.<sup>31)</sup>

氣管支喘息은 집먼지, 花粉, 真菌等과 같은 吸入性抗原이나 呼吸氣道感染, 感情的 스트레스와 같은 非特定刺激等이 氣道內의 過敏症을 誘發하여<sup>36)</sup> 氣管支平滑筋의 收縮과 粘膜의 浮腫, 氣道內의 粘液과 炎症細胞의 浸潤에 의한 可逆的 氣道閉塞으로 發作性 呼氣性呼吸困難을 나타내는 現象이며<sup>37)</sup>, 代表의 I型 알레르기疾患이다.<sup>38)</sup>

I型 알레르기反應은 IgE依存型이라고도 불리는데, IgE抗体가 mast細胞, 또는 好鹽基球의 細胞膜의 表面에 附着되어 있다가 거기에 抗原이 侵入하게 되면 細胞表面에서 抗原抗体反應이 일어난다. 그結果 細胞로부터 脫顆粒이 나타나 histamine等과 같은

化學傳達物質이 遊離되어 平滑筋의 收縮, 血管透過性의 亢進, 刺戟物受用等의 藥理作用이 일어나는데, 이러한 알레르기 反應의 發現部位에 따라 氣管支喘息이나 알레르기性鼻炎이 發病한다.<sup>38-40)</sup>

氣管支喘息의 藥物療法으로 氣管支擴張劑를 使用하는데 交感神經刺戟藥이나 xanthine誘導體를 使用하여 氣道를 擴張시키는 cAMP의 濃度를 높이고, 抗콜린藥으로 氣道를 收縮시키는 cGMP의 生成을 抑制시킨다.<sup>36)</sup>

清肺散은 劉<sup>1)</sup>의 <幼幼新書>에 收錄되어 있는 處方으로 半夏, 麻黃, 馬兜鈴, 貝母, 升麻, 杏仁, 地骨皮, 青皮, 細辛, 麥門冬, 桑白皮, 百合, 款冬花, 柴胡, 桔梗, 白茯苓의 藥物로 構成되어 있으며 喘息 및 咳嗽에 使用한다고 하였다.

個個 藥物의 效能에 對해서 살펴보면, 半夏는 性味가 辛, 溫하고 入脾, 胃하며, 燥濕祛痰, 下氣降逆 하는 效能이 있어 胸脹咳逆, 咽喉脹痛, 咳嗽上氣等을 治하며 祛痰, 鎮咳, 氣道의 刺戟을 緩解하는 作用이 있다.<sup>6), 30), 32-34)</sup> 麻黃은 性味가 辛, 溫하고 入肺, 勝胱하며 發汗解表, 祛痰, 宣肺平喘 하는 效能이 있어 中風傷寒, 咳逆上氣等을 治하며, 交感神經機能을 增强시키고 氣管支의 痙攣을 舒緩하는 作用이 있다.<sup>30), 32-34)</sup> 藥理作用으로는 精油成分인  $\alpha$ -terpineol이 正常마우스(mouse)의 體溫을 低下시키고, 氣管支平滑筋을 弛緩하여 呼吸을 調節하고 呼吸困難을 改善한다고 하였으며,<sup>35)</sup> 氣管支擴張이나 鎮咳作用은 N-methylephedrine<sup>o)</sup> 強力하고

抗炎症作用은 pseudoephedrine<sup>o)</sup> 強力하다고 하였다.<sup>36)</sup> 江田 등<sup>48)</sup>은 麻黃水액기스가 生體外實驗(in vitro)에서 抗anaphylaxis作用이 있음을 報告하였으며, 東海林徹 등<sup>49)</sup>은 麻黃水액기스를 輕癇醉한 생쥐에 投與하여 氣管의 機械的刺戟法에 의한 鎮咳作用이 있음을 報告하였다. 馬兜鈴은 性味가 微甘·苦, 寒하고 入肺하며 清肺止咳, 降氣平喘 祛肺中溼熱하는 效能이 있어 肺熱咳嗽, 痰結喘促, 肺氣上急을 治한다.<sup>30), 32-34)</sup> 貝母는 性味가 苦·甘, 凉하고 入肺하며 止咳化痰, 清熱散結, 潤肺, 降氣하는 效能이 있어 喉痺, 咳嗽上氣, 煩渴을 治하며<sup>30), 32-34)</sup>, 氣管支平滑筋의 擴張作用, 呼吸抑制作用이 있다.<sup>33)</sup> 升麻는 性味가 辛, 凉하고 入肺, 脾하며 發表透疹, 清熱解毒, 升舉陽氣하는 效能이 있어, 風腫諸毒, 喉痛, 口瘡, 肺瘡, 咳唾膿血을 治하며<sup>6), 30), 32-34)</sup>, 發汗, 解熱, 氣管支痙攣의 解除, 利尿, 升壓作用이 있다.<sup>33), 35)</sup> 杏仁은 性味가 甘·苦, 溫하고 入肺, 大腸하며 宣肺, 解肌, 潤燥, 降氣, 止咳定喘 하는 效能이 있어, 風寒入肺하여 생긴 發熱咳嗽, 風熱咳嗽, 咳逆上氣雷鳴, 喉痺, 喘促을 治하며<sup>6), 26), 30), 32-34)</sup>, 副交感神經興奮作用, 氣管支平滑筋의 弛緩作用이 있다.<sup>33)</sup> 地骨皮는 性味가 甘, 淡하고 入肺, 肝, 脾하며 清熱涼血, 清肺熱, 退骨蒸勞熱하는 效能이 있으며<sup>30), 32-34)</sup>, 青皮는 性味가 苦·辛, 微溫하고 入肝, 膽하며 疏散破氣, 散積化滯하는 效能이 있다.<sup>30), 32-34)</sup> 細辛은 性味가 辛, 溫하고 入肺, 脾하며 發散風寒, 溫肺化痰하는 效能이 있어, 咳逆上氣, 風

濕痺痛, 喉痺를 治한다.<sup>6), 30), 32-34)</sup> 藥理作用으로 成分中 精油 methyleugenol은 鎮咳 祛痰作用이 있어 氣道 粘膜의 消炎, 分泌物의 抑制, 鎮靜 等의 効果를 나타낸다.<sup>33)</sup> 江田 등<sup>48)</sup>은 感作된 생쥐의 肺切片으로부터의 anaphylactic mediator 遊離量에 대한 生藥의 作用을 스크리닝(screening)한 報告에서 細辛의 免疫 抑制作作用이 認定 되었다. 麥門冬은 性味가 甘·微苦, 寒하고 入肺하며 滋陰清熱, 潤肺生津하는 效能이 있으며<sup>6), 30), 32-34)</sup>, 桑白皮는 性味가 甘, 寒하고 入肺, 脾하며 止嗽清痰, 滌肺火利二便, 下氣行水하는 效能이 있어 肺熱喘滿唾血, 虛勞客熱을 治하며 解熱鎮咳, 祛痰의 作用으로 氣道의 炎症을 除去하여 咳嗽와 呼吸困難을 가라앉힌다.<sup>6), 30), 32-34)</sup> 百合은 性味가 甘·微苦, 平하고 入心, 肺하며 潤肺止咳, 清心安神하는 效能이 있으며<sup>30), 32-34)</sup>, 款冬花는 性味가 辛, 溫하고 入肺하며 潤肺降氣, 化痰止嗽하는 效能이 있어 咳逆, 喘息, 肺痿, 肺癰을 治하며<sup>6), 32-34)</sup> 解毒과 祛痰作用을 가져 氣管支 痙攣을 抑制한다고 하였다.<sup>33)</sup> 柴胡는 性味가 苦, 涼하고 入肝, 胆, 肺하며 和解退熱, 消痰止嗽, 潤肺, 散肌熱하는 效能이 있어 傷寒 寒熱往來, 天行時疾, 內外熱不解, 諸痰熱結實을 治하며<sup>6), 30), 32-34)</sup>. 藥理作用으로는 成分中 crude saikoside가 中樞 抑制作用, 抗痙攣作用, 抗炎症作用, 抗潰瘍作用 이외에도 鎮靜, 鎮痛, 鎮咳作用이 있으며<sup>33)</sup>, 中烏松一 등<sup>50)</sup>은 梅寄生, 柴胡 抽出物의 마우스(mouse) IgE 抗體 生成 抑制效果를 알아보는 實驗에서 柴胡가 IgE抗體의

力價를 抑制하는 作用이 있음을 밝혔다. 桔梗은 性味가 苦·辛, 平하고 入肺, 胃하며 宣肺祛痰, 排膿理氣하는 效能이 있어 咽喉腫痛을 治하며<sup>32-34)</sup>, 唾液 分泌나 氣管支 粘液 分泌의 促進, 弱한 鎮咳作用, 血糖 降低作用이 있다.<sup>33)</sup> 白茯苓은 性味가 甘, 淡하고 入心, 脾, 肺하며 利水滲濕, 健脾補中하는 效能이 있어 寒熱, 煩滿, 咳逆, 脾中痰水, 肺痿痰壅을 治한다.<sup>30), 32-34)</sup>

以上에서 살펴본 바와 같이 清肺散의 藥物構成을 보면, 歸經은 대부분 肺, 脾이고, 效能上의 藥物分類에 의하면 主로 發散解表하는 麻黃, 細辛, 柴胡, 升麻와 化痰止咳하는 貝母, 半夏, 桔梗, 杏仁, 款冬花, 馬兜鈴, 桑白皮, 百合으로 이루어졌으며, 이외에 清肺熱하는 地骨皮, 利水滲濕하는 白茯苓, 理氣하는 青皮, 補陰하는 麥門冬으로構成되어 있어 發散解表, 祛痰止咳, 降氣平喘의 效能이 있으므로 風寒, 痰火, 濕痰으로 인해 發生하는 發作期 喘息의 症狀을 緩和시킬 수 있을 것으로 料된다. 또한 實驗研究에 의하면 柴胡가 Ig E抗體의 力價를 抑制시키고<sup>50)</sup>, 細辛, 麻黃이 化學傳達物質의 遊離를 抑制시키며<sup>48), 49)</sup>, 細辛이 化學傳達物質에 의한 炎症反應을 抑制시키는 抗히스타민作用이 있어<sup>48)</sup> I型 알레르기 反應을 遮斷하는 效果를 나타냈으며, 半夏<sup>33)</sup>, 麻黃<sup>33), 35), 36)</sup>, 升麻<sup>33), 35)</sup>, 杏仁<sup>33)</sup>, 款冬花<sup>33), 35)</sup>, 柴胡<sup>33), 35)</sup> 等이 氣管支 痙攣을 緩和시키고, 貝母<sup>33)</sup>가 氣管支 平滑筋을 擴張시키며, 桑白皮<sup>33)</sup>는 氣道의 炎症을 除去한다 하여 氣道의 過敏性과 氣道閉塞을 抑制시키는 個別 藥物의 實驗

效果로 보아 알레르기性 喘息에 有效 할 것으로 料된다.

外部에서 侵入한 微生物이나 内部에서 발생한 肿瘍등 抗原的 要素가 매우 多樣해짐으로 인하여 이에 對應하기 위한 免疫系의 免疫細胞도 多樣化되면서 進化하였다. 즉 림프구中 B細胞는 抗體를 生產하여 防禦하지만, T細胞는 大食細胞를 活性화시키는 사이토카인을 分泌하여 生體를 防禦하고 있다. 더 나아가 T細胞는 體液性 免疫反應과 細胞性 免疫反應을 돋는 協力 T細胞와 免疫反應을 終結시키는 抑制 T細胞 및 細胞 毒性을 나타내는 細胞毒性 T細胞 등의 亞群으로 이루어졌음이 밝혀졌다.

최근 協力T細胞는  $T_{H1}$ 과  $T_{H2}$  亞群으로 이루어져 있고,  $T_{H1}$  協力 T細胞는 감마 인터페론(IFN- $\gamma$ )이나 인터루킨-2(IL-2) 및 인터루킨-12(IL-12)를 生產하며 貪食細胞를 活性화시켜 細胞性 免疫反應과 體液性 免疫反應을 亢進시키며,  $T_{H2}$  協力 T細胞는 인터루킨-4(IL-4)나 인터루킨-10(IL-10)을 生產하여 抗體中에서 IgE를 生產해 하든지 肥滿細胞를 活性화하여 過敏反應을 起한다고 報告되었다<sup>61)</sup>. 이처럼 IgE生産에는 T細胞의 調節이 重要한 役割을 하며 特定 種類의 림포카인들을 生産하는 協力T細胞의 亞集團들이 B細胞에 의한 IgE生産의 調節에 關與한다는 事實이 밝혀져 있다.<sup>42)</sup>

清肺散의 投與가 免疫系에 미치는 效果를 紛明하기 위하여 림프구의 增殖反應, T細胞 亞型 分析, Rosette形成細胞 测定, DNFB減作에 의한 接觸性 過

敏反應, 赤血球 凝集素價와 溶血素價를 测定으로 特異的 免疫系에 미치는 影響을 살펴보았으며, 細胞毒性 测定, 自然致死細胞의 活性度 测定, 大食細胞 貪食能 测定, 反應窒素 中間物質生成能(RNIs) 测定으로 先天性 免疫系에 미치는 影響을 살펴보았다.

본 實驗에서 清肺散의 投與가 마우스(mouse)의 림프구 增殖에 미치는 影響을 알아본바, 對照群( $12.5 \pm 0.7 \times 10^3$ cpm)에 비해 CPS2群( $225.4 \pm 0.3 \times 10^3$ cpm)에서 림프구의 增殖을 增加시켰다(Fig. 1). 이는 清肺散의 投與로 마우스(mouse)의 림프구 分裂을 促進시킨 結果라고 料된다.

림프질內의 T細胞群의 亞型變化에 미치는 影響을 調查한 結果, CD4陽性細胞는 對照群( $22.5 \pm 3$ )에 비해 全體的으로 增加하는 傾向을 보였으며, 특히 CPS1群( $51.4 \pm 7$ )에서 有意性 있게 增加하였다(Fig. 2). CD8陽性細胞는 對照群( $62.8 \pm 6$ )에 비해 全體的으로 낮아지는 傾向을 보였으며, 특히 CPS1群( $43.2 \pm 5$ )에서 有意性 있게 減少하였다(Fig. 3). 本 實驗의 研究 結果에 의한 CD4/CD8 陽性細胞의 比率은 對照群( $0.35/1$ )에 비해 모두 增加하였으며, 특히 CPS1群이  $1.18/1$ 로 有意性 있게 增加하였다(Fig. 4). 이는 協力 T細胞의 增加를 招來한 結果라고 할 수 있다.

Rosette 形成 細胞數를 测定한 實驗에서는 對照群( $50.4 \pm 3$ )에 비해서 모두 增加하는 傾向을 보였으며, 특히 CPS2群( $95.4 \pm 5$ )에서 有意性 있게 增加하였다(Fig. 5).

위의 事實들로 보아(Fig. 1-5) 이는

協力 T細胞에 의해 生成되며 T細胞의 分裂을 增進시키고 T細胞에 強力한 成長因子와 活性因子로 作用하는 IL-2의 分泌에 의한 效果와 同一하다고 할 수 있겠다.

大食細胞는 免疫反應의 모든 段階에 關與하는 데 T細胞에 의한 增幅이 일어나기 前에 빠른 保護作用을 나타내며 抗原을 處理하고 提供함으로써 T細胞活性화를 起起시킨다. 또한 T細胞活性화의 結果로 細胞媒介性反應에서 作動細胞로 作用한다.<sup>42)</sup>

大食細胞의 貪食能에 미치는 影響을 觀察한 바, 生體內 實驗에서는 對照群( $19.3 \pm 3$ )에 비해 CPS 1 및 2群에서 增加하였으며 CPS 3群에서는 약간 減少하여 高濃度의 投與가 大食細胞의 貪食能에 별다른 影響을 주지 않음을 알 수 있었다(Fig. 9). 生體外 實驗에서는 對照群( $29.5 \pm 4$ )에 비해 모두 增加하는 傾向을 보였다(Fig. 10).

貪食細胞의 反應窒素 中間物質 生成能에 미치는 影響을 觀察한 바, 濃度에 依存的으로 反應窒素 中間物質 生成 程度가 增加하였다(Fig. 11).

이처럼(Fig. 9-11) 清肺散의 投與에 의해 大食細胞의 貪食能 增加와 大食細胞의活性화에 따르는 Nitric oxide(NO)의 形成을 促進한 效果는 INF- $\gamma$ 의 生體內 效果와 同一하다고 할 수 있겠다.

清肺散의 投與에 대한 免疫反應에 대한 이러한 效果(Fig 1-5, 9-11)는 TH1協力 T細胞의 機能을 亢進시킨 結果라고 思料된다.

細胞毒性에 미치는 影響을 알아보기

위하여 癌細胞株인 K562를 使用하여 實驗한 결과 對照群( $13.2 \pm 4$ )에 비해 全體的으로 增加하였으며 CPS 2群( $53.2 \pm 4$ )에서 크게 增加하였다(Fig. 6). 이는 清肺散이 大食細胞에 作用하여 그 機能을 亢進시키고 Nitric oxide(NO)를 生產케 하는 作用과 聯關이 있을 것으로 思料된다.

T細胞는 協力 T細胞를 提供함으로써 免疫反應을 분명히 調節하는데 더욱이 어떤 補助細胞(T<sub>H</sub>1對T<sub>H</sub>2)를 優先적으로 生成하느냐에 따라서 免疫反應의 本質에 影響을 미치게 된다. T<sub>H</sub>1協力 T細胞는 大食細胞를 活性화시키며, 大食細胞에 提供된 抗原에 대해서 특히 잘 反應하는 데, 細胞毒性과 局所의 炎症反應을 隨伴하는 몇 가지 機能을 媒介함으로써, 細胞內 寄生病原體의 攻擊에 重要하며, T<sub>H</sub>2協力 T細胞는 B細胞를 刺戟하여 增殖시키고 抗體를 生產토록 作用하여 細胞外 寄生微生物에 대한 防禦에 重要한 役割을 하고 있어, T<sub>H</sub>1協力 T細胞와 T<sub>H</sub>2協力 T細胞는 拮抗的으로 作用한다고 알려졌다.<sup>42)</sup>

清肺散의 投與가 DNFB減作에 의한 接觸性過敏反應에 미치는 影響을 살펴본 結果 對照群( $35.8 \pm 5$ )에 비해 接觸性過敏反應이 全體的으로 減少하는 傾向이 뚜렷하였으며, 특히 CPS 1群( $5.3 \pm 2$ )에서 有意性 있게 減少하였다(Fig. 8).

接觸性過敏反應은 抗原에 의해 IgE-減作肥滿細胞가 特異的으로 刺戟되었을 때 일어나며, 이때 多樣한 機能을 가진 림포카인들과 사이토카인들이 遊

離되는데  $T_{H2}$ 協力 T細胞에 의해 生產된 IL-4는 B細胞에 의한 IgE生産을 도와주는役割을 한다.<sup>42)</sup> 그러므로 清肺散을 投與하여 接觸性過敏反應이 뚜렷하게 減少된 것으로 보아  $T_{H2}$ 協力 T細胞의 機能을 抑制시킨 結果라고思料된다.

以上의 實驗結果에 의하면 清肺散은 림프구增殖의 增加, CD4陽性細胞數의 增加 및 CD8陽性細胞數의 減少, Rose tte形成細胞數의 增加, 大食細胞 貪食能增加와 이에 따른 反應窒素 中間物質生成能의 增加를 招來하여  $T_{H1}$ 協力 T細胞의 機能을亢進시켜 이에拮抗的으로作用하는  $T_{H2}$ 協力 T細胞의 機能을抑制시킬 것으로思料되는데, DNFB減作에 의한 接觸性過敏反應의 抑制效果가 뚜렷하여 이를 뒷받침하고 있어 알레르기性喘息에 有效할 것으로思料된다.

## V. 結論

喘息에應用되는 清肺散을  $T_{H1}$ 協力 T細胞의 機能과  $T_{H2}$ 協力 T細胞의 機能에 미치는 影響에 대해서 살펴보기 위하여 여러 가지尺度로 測定하여 다음과 같은 結果를 얻었다.

1. 清肺散은 림프구의增殖에影響을 주며 특히 對照群과比較하여 2群에서有意性있게 림프구의增殖을增加시켰다.
2. 清肺散은 CD4陽性細胞數를增加시키는 반면 CD8陽性細胞數를 減少시켰으며 協力T細胞와抑制T細胞

의比率을 약간增加시켰다.

3. 清肺散은 全般的으로濃度의增加에 따라 SRBC와 이루는 Rosette形成細胞生成能을有意性있게增加시켰지만 高濃度의清肺散을投與하였을境遇는 오히려 減少시켰다.
4. 清肺散은 K562에 대한細胞毒性作用을濃度에依存的으로增加시켰다.
5. 清肺散은自然致死細胞의活性度에는意味 있는效果가 없었다.
6. 清肺散은接觸性過敏反應을顯著하게抑制시켰다.
7. 清肺散은生體內와生體外에서大食細胞에의한貪食能을增加시켰다.
8. 清肺散은濃度에依存的으로大食細胞에作用하여反應窒素中間物質의生成을增加시켰다.
9. 清肺散에의한抗體生成能을보기위하여赤血球의凝集素價와溶血素加를본結果SRBC에의한抗體生成能을增加시켰다.

以上의結果로미루어보아清肺散은免疫系의  $T_{H1}$ 協力 T細胞의機能을亢進시키는반면,  $T_{H2}$ 協力 T細胞의機能을抑制시킴을시사하고있으며, 이러한作用이있는清肺散은抗微生物等에대한防禦能을增加시키되  $T_{H2}$ 協力 T細胞에의한過敏反應을抑制시켜알레르기性喘息에 有効함을알

수 있었다.

## 參考文獻

1. 劉昉 : 幼幼新書 , 北京, 中國古籍出版社, 卷16 p.269, 1981.
2. 張隱庵, 馬元臺 編註 : 黃帝內經, 臺北, 臺聯國風出版社, pp. 26, 4 9, 147, 168, 180-181, 213, 276, 328, 402, 478, (素問), 60, 74, 1 79, 248, 258, (靈樞), 1977.
3. 虞搏 : 醫學正傳, 서울, 成輔社, p p.101-104, 1986.
4. 巢元方 : 巢氏諸病源候論, 臺北, 昭人出版社, 卷13-3, 卷 14-3, 4, 5, 1983.
5. 王肯堂 : 六科準繩, 臺北, 新文豐出版社, pp.581-624, 1973.
6. 許浚 : 東醫寶鑑, 서울, 南山堂, p p.474-479, 713, 721, 722, 728, 731, 733, 739, 740, 1980.
7. 張景岳 : 景岳全書, 서울, 杏林書院, pp.261-265, 1975.
8. 張仲景 : 金匱要略方論, 臺北, 臺聯國風出版社, pp.39-45, 1973.
9. 王焘 : 外臺秘要, 서울, 成輔社, p p.963-965, 1975.
10. 錢乙 : 小兒藥證直訣, 江蘇, 江蘇科學技術出版社, pp.20-48, 78, 1 983.
11. 正和奉勅: 聖濟總錄, 서울, 輸成社, pp.315-322, 1877.
12. 洪金鼎 : 扁鵲心書 · 醫方一盤珠, 台北, 新文豐出版公司, 卷4 喘急門, 1976.
13. 陳無澤 : 三因方, 서울, 輸成社, p p.476-481, 1977.
14. 楼英 : 醫學綱目, 台南, 北一出版

- 社, pp6-8, 1978.
15. 朱丹溪 : 丹溪心法附餘(上), 臺北, 五州出版社, pp.807-809, 1981.
16. 沈金鰲, 王大綸 : 婦科玉尺·嬰童類萃(合本), 서울, 輸成社, 下卷 p.128-133, 1984.
17. 薛鑑 : 保嬰撮要(醫部全錄), 서울, 成輔社, p.496, 1976.
18. 李梃 : 醫學入門, 서울, 輸成社, p.494, 1983.
19. 巖廷賢 : 萬病回春, 서울, 醫文社, pp.91-93, 1985.
20. 李中梓 : 醫宗必讀, 서울, 書苑堂, pp.354-359, 1976.
21. 秦景明 : 幼科金鑑, 臺北, 新文豐出版公司, pp.629-641, 1977.
22. 方賢 : 奇效良方, 香港, 商務印書館, pp.629-641, 1977.
23. 陳士鐸 : 增補辨證錄, 서울, 書苑堂, pp.151-153, 1981.
24. 吳謙 : 醫宗金鑑, 臺北, 人民衛生出版社, pp.117-121, 1980.
25. 陳復正 : 幼幼集成, 上海, 上海科學技術出版社, pp.114-117, 1978.
26. 葉天士 : 臨證指南醫案, 서울, 輸成社, pp.300-306, 1978.
27. 曹旭 : 小兒證治, 西安市, 陳西科學技術出版社, pp.152-164, 1979.
28. 徐春甫 : 古今醫統秘方大全, 臺北, 新文豐出版公司 p.3124, 1977.
29. 巖廷賢 : 濟世全書, 臺北, 新文豐出版公司, pp.147-151, 1981.
30. 李時珍 : 本草綱目, 서울, 高文社, pp.456-457, 463-464, 468-469, 475-476, 588-589, 693-697, 726, 960-961, 988-989, 1224-122
- 6, 1985.
31. 王 =伯岳 : 中醫兒科學, 北京, 人民衛生出版社, pp.401-406, 1984.
32. 辛民敎 : 原色臨床本草學, 서울, 南山堂, pp.232, 234, 250, 302, 381, 392, 461, 512, 538, 540, 556, 564, 599, 636, 646, 647, 1986.
33. 陸昌洙 外 5名 : 韓藥學 II, 서울, 光明醫學社, pp.20, 26-35, 74-77, 80-83, 173-177, 186-201, 550, 1992.
34. 申信求 : 申氏本草學 (各論), 서울, 壽文社, pp.112, 211-213, 223, 228, 238, 357, 456-457, 462-463, 471-472, 479, 497, 627, 697-699, 704, 724, 729, 1988.
35. 陸昌洙 外 5名 : 韓藥의 藥理, 成分, 臨床應用, 서울, 癸丑文化社, pp.306-308, 1982.
36. 金一赫, 趙弼衡 譯 : 漢方醫藥學, 서울, 東南出版社, pp.77-83, 100-104, 1984.
37. 康漸榮 : 알레르기 疾患의 診斷과 治療, 서울, 一湖閣, pp.129-151, 1987.
38. 丁奎萬 : 알레르기와 한방, 서울, 第一閣, pp.17-18, 29-30, 35-38, 1990.
39. 河合忠, 本間光夫 : 感染, アレギー, 17, 免疫病學, 東京, 醫學書院, pp.26-30, 1986.
40. 江田昭英: 알레르기 治療劑의 免疫藥理學, 日本臨床, 39(4) : 1801, 1981.
41. 洪彰義 : 小兒科學, 서울, 大韓敎

- 科書株式會社, p1058, 1993.
42. 河大有 外 25名 : 그림으로 본 免疫學(제3판), 서울, 高文社, pp.29 4-296, 116, 112, 282-283, 199 4.
43. 崔錫鳳 : 加味麥門冬湯의 效能에 관한 實驗的 研究, 大韓韓醫學會誌, 10(2) : 153-160, 1989.
44. 이양근 外 5名 : 氣管支 喘息 患者에서 免疫 治療에 대한 T림프구 亞型과 增殖能의 變化, 알레르기, 13(1) : 30-39, 1993.
45. 천병도 外 5名 : 알레르기性 喘息患者에서 末梢血液림프구의 IgE 生成能力과 IgE受容體 表現과의 關係, 알레르기, 13(3) : 326-333, 1993.
46. 이수영 外 4名 : atopy性 및 非atopy性 小兒喘息에서 IgG anti-Ig E自家抗體의 陽性率과 亞型, 小兒 알레르기 및 呼吸器, 3(1) : 98-1 04, 1993.
47. 이몽영 外 3名 : 小兒喘息에서 Ig G亞型에 대한 調查, 5(1) : 42-4 8, 1995.
48. 江田昭英 等 : 生藥의 抗 알레르기 作用에 대한 吟味, 日藥理誌, 6 6 : 366-378, 1970.
49. 東海林徹 外 : 鎮咳 痥癆效果를 지닌 生藥의 藥理學的研究 (第 1 報) 鎮咳와 毒性에 있어서의 數種生藥의 配合效果에 대하여, 應用藥理, 10:407-415, 1975.
50. 中島松一, 金田平, 高津聖志 : 梅寄生, 柴胡抽出物의 마우스(mouse) IgE抗體 生成 抑制效果, proc Symp. WAKAN-YAKU, 13:42, 1980.
51. Nakagawa, t., Nakagawa, n., Ambrus, J.L., Jr., and Fauci, A.S. : Differential effects of interleukin 2 vs. B cell growth factor on human B cells, J.munol., 140 : 465-469, 1988.
52. Biozzi G. Stiffel, C., Mounton, D., Bouthiller, Y. and Decruze found, C. : A Kinetic Study of Antibody Producing Cells in the Spleen of Mice Immunized Intravenously with sheep erythrocytes, Immunology, 14:7, 196 8.
53. Miller, T.E. et al : Immunopotentiation with BCGII, modulation of the response to sheep red blood cells, J.Nat. Cancer Inst., 51:16669, 1973.
54. Mitsuoka, A. et al : Delayed hypersensitivity in mice induced by intravenous sensitization with sheep erythrocytes, evidence for tuberulin type delayed hypersensitivity of the reaction, Immunology, 34:363, 1987.
55. Avrames, L., Bach, J. F and Preud homme, J. L : Antibody formation at the cellular level in immunology, John Wiley & Sons Inc., New York, pp. 508-51 3, 1982.
56. Bach, J.F., Dardenne M. : Antigen Recognition by T Lymph

- ocytes, Cellular Immunology, 3:1-10, 1972.
57. Claman, H.N., Chaperon, E.A. and Triplrtt, R.F. : Thymus marrow Cell Combination Synergism in antibody Production, Soc. Exp. Biol. Med. Proc., 59:83 -87, 122:1167, 1966.
58. Nowothy, A. : Antigen-Antibody interactions in basic exercises in immunochemistry, Springer, Verlag Berlin Heidelberg, N.Y., PP217- 271, 285 -287, 1979.
59. Zaalberg, O.B. : A simple method of detection single antibody forming cells, Nature, 202:12 31, 1964.
60. Umezawa, H., M.Ishizuka, T. Takeuchi, F. Abe, K. Nemoto, K. Suppression of tissue graft rejection by squalin. J. Antibiot., 38:283-284, 1985.
61. Snapper CM, Paul WE : BSF-1 / IL-4 prepares resting murine B cells to secrete IgG 1 upon subsequent stimulation with bacterial lypopolysaccharide : J. Immunol., 139 : 10-17, 1987.
62. Nemoto, K., M. Hayashi, Y. Sugawara, J. Ito, F. Abe. Biological activities of deoxyspergualin in autoimmune disease mice. J. Antibiot., 41:1253-1259, 1988.
63. Nemoto, K., T. Mae and T. Takeuchi. Deoxyspergualin therapy in autoimmune MRL/lpr mice suffering advanced lupus-like disease. J. Antibiot., 41:1253-1259, 1988.
64. Stewart, C.C. and Lin. H. : Macrophage growth factor and its relationship to colony stimulation factor, Reticuloendothelial Soc., 23:269, 1978.
65. Kubo, M. and Archi, S. : G.L. antihypertensive component. Jpn, Kokai Tokkyo Koho, 81:57801, 1981.
66. McGrinnes, K. M., Chapman, G., Marks, R. and Penny, R. : A fluorescence NK assay using flow cytometry. J. Immunol. Meth., 86:7-15, 1986.
67. Mufti, S.I., Prahala, R., Moriguchi, Sipes, I.G. and Watson, R.R. : Functional and numerical alterations induced by ethanol in the cellular immune system. Immunopharmacol., 15:85-94, 1988.
68. Schmid, D. S. : The human MHC-restricted cellular response to herpes simplex virus type 1 is mediated by CD4 helper(+), CD8 suppressor(+) T cells and restricted to the DR region of the MHC Complex. J. Immunol., 140:3610-3616, 1988.
69. Soerskaar, D., Foerre, Oe., Alb

- rechtsen, D. and Slavem, P. : Natural cytotoxicity in adult acute leukemia, *Int. Arch. Allergy Immunol.*, 86:190-195, 1988.
70. Davis, A.J.S. et al : The failure if thymus-derived cells to produce antibody Transplantation, 5:222, 1967.
71. Austyn, J.M. and Gordon, S. : F4/80 ; monoclonal antibody directed specifically against the mouse macrophage, *Eur.J.Immunol.*, pp. 805-815, 1981.
72. Hume, D.A., Perry, V.H. and Gordon, S. : The mononuclear phagocyte system of the mouse defined by immunohistochemical localization a antigen F4/80. Macrophages associated with epithelia *Anant.Rec.*, 210:503, 1984.
73. Hume, D.A., Loutit, J.F. and Gordon, S. : The mononuclear phagocyte system of the mouse defined by immunohistochemical localization of antigen F4/70. Macrophages of bone and associated connective tissue. *J. Cell. Sci.*, 66:189-194, 1984.
74. Shepherd, V.L., Comphell, E.J., Sienior, R.M. and Stahl, P.D. : Characterization of the mannose fucosyl receptor on humma n mononuclear phagocytes. *J. Res.*, 32:423-432, 1982.
75. Suny, S.S.J., Nelson, R.S. and Silverstein, S.C. : Yeast mannose inhibits binding and phago cytosis of zymosan by mouse peritoneal macrophages, *J. Cel l. Biio* 106, 1983.
76. Walker, W.S., Hester, R.B. and Beelen, R.H.J. : Persistent e xpression of IgA-antigen on a subpopulation of murine reside nt peritoneal macrophages, *Ce ll, Immunol.*, 79:125, 1983.
77. Winter, M. and Buschmann, H.G. : Measuring phagocytic c apacity in polymorphonous clear cell of the pig a compariso n between different assay, *J.V et.Med.*, 834:504, 1987.
78. Hibbs, Jb., Jr., Taintor R. and Vavrin, Z. : Macrophage cytotoxicity, Role for L-arginine de iminase and immunonitrogen oxydatin of nitrite, *science*, 235 : 473-478, 1987
79. Hibbs, J.B., Jr., Granger, D.L. : Cellular and cytokine networ ks in tissue, immunity, pp211-227, 1991
80. Hibbs, J.b., Jr., L.H. Lambert, Jr., and J. S. Remington. Poss ible role of macrophage-media ted nonspecific cytotoxicity in tumor resistance. *Nature, New Biol.*, 235:48, 1972.
81. Hibbs, J.B., Jr., R.R. Taintor, H.A. Chapman, Jr., and J. B.

- Weinberg Macrophage tumor killing : influence of the local environment. Science , 197, 1977.
82. Drapier J.C., and Hibbs, J.B., Jr. Differentiation of murine Macrophages to express non-specific cytotoxicity for tumor cells results in L-arginine-dependent inhibition of mitochondrial iron-sulfur enzymes in the macrophage effector cells, J. Immunol., 140 : 689-2838, 1988.